

论文

# 心肌细胞横管的形态发生: Junctophilin-2 的作用

韩晶、吴昊迪、王其伟、王世强\*

北京大学生命科学学院,生物膜与膜工程国家重点实验室,北京 100871 \* 联系人, E-mail: wsq@pku.edu.cn

收稿日期: 2013-02-07; 接受日期: 2013-03-28 国家重点基础研究发展计划(批准号: 2011CB809101)资助项目

摘要 横管系统是心脏和肌肉细胞兴奋收缩偶联的结构基础. 在新生鼠的心肌细胞中并不存在横管结构,横管的形态发生是心肌细胞成熟过程中的一个重要标志. 本文对心肌细胞成熟过程中横管的形态变化进行定量分析,并对连接横管和肌质网的关键分子 Junctophilin-2 (JP2)在这个过程中所发挥的作用进行研究. 对心肌细胞图像的分析显示, 在横管成熟的过程中, 横管的横向组分逐渐增加, 纵向组分逐渐减少. 通过对横管图像进行傅里叶变换分析, 发现横管排列的规律性随心肌细胞的成熟而逐渐增加. 横管的这些变化伴随着 JP2 蛋白表达量的上升, 并且可以被 JP2 表达量的敲减所逆转. 这些现象表明, JP2 在横管形态发生过程中发挥重要作用.

关键词 横管 Junctophilin-2 心肌细胞 形态发生

横管是心肌细胞膜内化形成的管状结构,可以将胞外的去极化信号传递至细胞纵深,从而引起整个细胞的同步收缩<sup>[1,2]</sup>.大部分横管为横向,沿心肌细胞 Z 线延伸;少量横管为纵向,存在于相邻的 Z 线之间<sup>[3]</sup>.心肌细胞中横管的平均直径为 180~280 nm<sup>[3,4]</sup>.横管上分布有大量膜蛋白,如电压门控钠通道、L型钙通道和钠钾交换体,它们分别在细胞兴奋、兴奋收缩偶联及胞内钙离子移除方面发挥重要作用<sup>[1,5-7]</sup>.横管在心肌细胞中广泛分布,与肌质网形成二联体结构(偶联子),横管膜与肌质网膜之间的距离约为 12 nm<sup>[8,9]</sup>.在兴奋收缩偶联过程中,横管上的 L型钙通道所介导的钙离子内流引起肌质网 ryanodine 受体(ryanodine receptor, RyR)钙释放,进而引发一次钙瞬变<sup>[10,11]</sup>.这一钙致钙释放过程是心肌细胞收缩的基础<sup>[12,13]</sup>.

在哺乳动物的心肌细胞中, 细胞周边的二联体

结构(由表面膜与肌质网形成的偶联结构)在胚胎发生的过程中已经形成<sup>[14,15]</sup>,但横管的形态发生及横管与肌质网二联体结构的形成则发生较晚<sup>[14,16]</sup>. 横管网络从出生后 7~10 天才开始出现<sup>[14,17]</sup>. 到目前为止,研究者提出过 2 种横管发育模式: 内陷模式与先偶联后融合模式<sup>[14,17]</sup>. 在内陷模式中,横管是由细胞膜逐渐内陷并延伸到细胞中心形成的. 肌质网独立于横管发育,并随着横管延伸形成二联体结构. 在先偶联后融合模式中,细胞内未与细胞膜连通的膜泡先与肌质网形成偶联,然后再与细胞膜融合,从而形成横管. 尽管对于横管形成的机制现在仍然存在争议,但可以肯定,与肌质网的偶联在横管形成过程中发挥了重要作用.

Junctophilin-2 (JP2)是将肌质网与横管/细胞膜锚定在一起的结构蛋白,它由横跨肌质网膜的疏水羧基端,以及与细胞膜相互作用的胞质结构域组

引用格式: 韩晶, 吴昊迪, 王其伟, 等. 心肌细胞横管的形态发生: Junctophilin-2 的作用. 中国科学: 生命科学, 2013, 43: 738-744 英文版见: Han J, Wu H D, Wang Q W, et al. Morphogenesis of T-tubules in heart cells: the role of junctophilin-2. Sci China Life Sci, 2013, 56: 647-652, doi: 10.1007/s11427-013-4490-4

成<sup>[15,18]</sup>. 越来越多的证据表明, JP2 对于横管-肌质网二联体结构的形成及钙质钙释放过程的正常进行非常重要<sup>[19-24]</sup>. JP2 缺失的小鼠会在胚胎期死亡<sup>[15]</sup>. 在心衰的心肌细胞中, JP2 表达量下降, 引起横管-肌质网偶联子密度的减少及细胞内钙释放过程的去同步化<sup>[23,24]</sup>.

虽然 JP2 对横管-肌质网偶联结构的形成很重要,但对于它是否参与横管的形态发生过程这一问题目前仍然不清楚. 本研究检测了心肌细胞成熟过程中横管的形态及 JP2 表达量的变化,并利用 RNA 干扰(RNAi)技术进一步研究 JP2 表达量下调对横管形态的影响.

# 1 材料与方法

# 1.1 大鼠心肌细胞的分离与病毒感染

使用之前报道的酶消化法分离不同日龄(出生后15, 20, 30 和 60 天) Sprague-Dawley 大鼠的心室肌细胞<sup>[25]</sup>. 简要流程如下:腹腔注射氨基甲酸乙酯(1000 mg/kg)麻醉大鼠后,迅速取出其心脏并将其置于Langendoff灌流装置上. 随后使用 II 型胶原酶灌流心脏分离心肌细胞. 将分离下的单个大鼠心肌细胞静置于台氏液中,台氏液成分为(单位: mmol/L): 137 NaCl, 4.0 KCl, 1.0 CaCl<sub>2</sub>, 1.2 NaH<sub>2</sub>PO<sub>4</sub>, 10 葡萄糖及10 HEPES,并使用 NaOH 将 pH 调至 7.36.

在 RNAi 实验中,将分离的 60 日龄大鼠的心肌细胞培养在 M199 培养基中,置于含有 5% CO₂ 的恒温 37℃培养箱中.将包装有 JP2 靶向 shRNA 或无特异靶向的对照 shRNA 的腺病毒以最适感染复数加入培养基中以感染细胞. JP2 siRNA 的序列为: 5′-ACA CCGTCCTCATCTGTAT-3′;对照序列为: 5′-TTCTC CGAACGTGTCACGT-3′.实验组与对照组均在腺病毒感染 48 h 后进行成像与生化实验.

#### 1.2 细胞膜染色与成像

使用终浓度为 1 μmol/L 的细胞膜染料 di-8-ANEPPS(Sigma, 美国)对不同发育阶段的心肌细胞进行染色,室温 30 min. 然后使用台氏液清洗细胞 3 次以除去残余的染料. 而在 JP2 RNAi 实验中,培养的大鼠心肌细胞则采用另一种膜染料 RH237 (Invitrogen,美国)进行染色. RH237 的母液浓度为 5 mmol/L,溶解在 DMSO 中,其使用浓度为 10 μmol/L,室温染色 5 min. 心肌细胞图像采集使用倒置的激光

共聚焦显微镜(LSM-710, Carl Zeiss, 德国), 采用氩激光器(488 nm)及 40 倍、1.3NA 的油镜完成.

#### 1.3 蛋白质免疫印迹

在蛋白质裂解液中对不同日龄大鼠的心室肌组织匀浆并提取蛋白质.每个样品上样量为 15 μg, 经SDS-PAGE 凝胶电泳分离后,将蛋白质转移至 PVDF膜上.随后将 PVDF膜与兔源 JP2 抗体(1:1000) 4℃孵育过夜. JP2 抗体由北京奥维亚生物科技有限公司制作.后加入 GAPDH-HRP 抗体(1:20000, 康成,中国)和羊抗兔 IgG-HRP (1:1000, Thermo scientific,美国)孵育,化学发光试剂显色曝光并用扫描仪扫描.蛋白质条带利用 Quantity One 软件(Bio-Rad,美国)进行分析,以 GAPDH 为内参对 JP2 进行标准化分析.

# 1.4 图像分析

横管图像使用交互数据语言(IDL) 5.5 按照之前 报道的方法进行编程分析<sup>[23,26]</sup>. 对横向与纵向延伸 的横管分别定量分析. 使用快速傅里叶变换分析横 管的排列, 采用能表征横管排列规律性的 power 值评 估横管的发育.

#### 1.5 统计分析

本研究中的所有数据均以 $\bar{x}\pm SE$ 的形式表示. 根据不同情况选择使用One-way ANOVA 检验或 t 检验对数据进行比较分析. 当 P<0.05 时则认为差异显著.

# 2 结果

#### 2.1 心肌细胞成熟过程中横管的形成

使用细胞膜染料 di-8-ANEPPS 对不同发育时期的心肌细胞进行染色,通过激光共聚焦显微镜对细胞膜及横管成像.根据之前的报道,横管从出生后7~10 天开始出现<sup>[14,17]</sup>,因此主要对出生后 15~60 天的横管成熟过程进行观察(图 1A).在出生后 15 天,横管主要出现在细胞膜附近的区域,在细胞中央区域只有少量横管.到出生后 20 天,横管开始向除了细胞核以外的整个胞内区域延伸.在这一时期,横管染色形成的横跨细胞的条纹清晰可见.在出生后 30和 60 天的心肌细胞中,排列规律的横管网络在细胞内广泛分布.在上述心肌细胞成熟过程中,横管在心

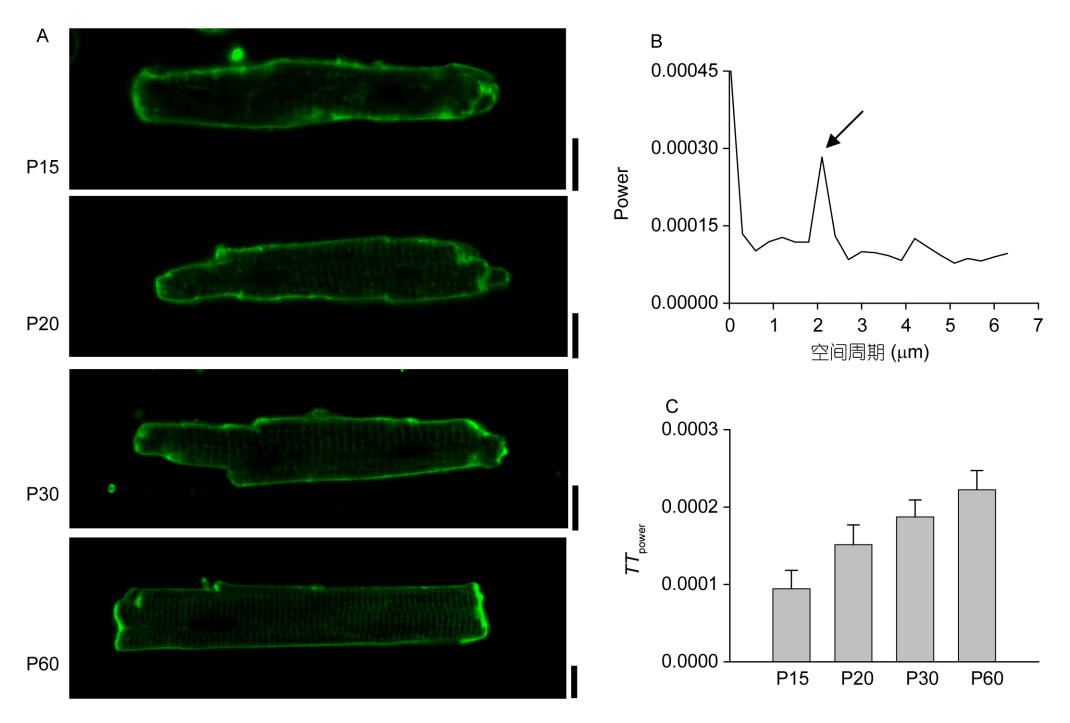


图 1 心肌细胞成熟过程中横管排列的规律性

A: 急性分离的不同发育阶段的心肌细胞使用膜染料 di-8-ANEPPS 染色后成像. 标尺: 10 μm; P15: 出生后 15 天; P20: 出生后 20 天; P30: 出生后 30 天; P60: 出生后 60 天. B: 快速傅里叶变换分析横管排列的空间周期. 在约 2 μm 处的 power 值定义为 *TT*<sub>power</sub>, 表示横管排列的规律性. C: *TT*<sub>power</sub>, 在发育过程中逐渐增加. 每组 *N*>15 来自 3 只实验动物; One-way ANOVA; *P*<0.01

肌细胞内的排列逐渐变得井然有序,相邻横管间的 距离约为 2 μm.

为了定量分析横管在发育过程中排列规律性的变化,采用快速傅里叶变换的方法计算横管排列的空间周期 $^{[23,26]}$ (图 1B). 分析后发现,最显著的空间周期约为 2  $\mu$ m (图 1B 中箭头所示),这代表心肌细胞中相邻横管间的距离. 采用约 2  $\mu$ m 处空间周期的power 值( $TT_{power}$ )作为衡量横管排列的定量指标. 分析结果显示, $TT_{power}$ 在心肌细胞成熟过程中逐渐增大(图 1C). 在越晚的发育阶段, $TT_{power}$ 值越高,表明横管以更加规律的方式在细胞内排布.

在心肌细胞成熟过程当中,大部分横管沿 Z 线横向延伸,但也有少量横管会出现纵向延伸.为了定量分析横管在成熟过程中的走向,对其横向组分和纵向组分的密度分别进行测量.方向不确定的点状信号(图 2A 中绿框所示)不被考虑在内.结果显示,与心肌细胞成熟过程中 *TT*<sub>power</sub> 的增加同步,横向组分的密度逐渐增加(图 2B),纵向组分的密度逐渐减少(图 2C),2种组分的变化在出生30天后的心肌细胞中达到稳态.这些发现表明,横管排列的空间周期及

方向在心肌细胞成熟过程中都得到了统一.

# 2.2 JP2 表达量对横管形态的影响

JP2 是心肌细胞中连接肌质网和横管/细胞膜的结构蛋白<sup>[15]</sup>. 为了阐明 JP2 在横管形态发生过程中可能发挥的作用,通过蛋白免疫印迹方法对不同成熟阶段的大鼠心室肌组织中 JP2 的表达量进行定量分析(图 3A). 结果显示, JP2 蛋白的表达量在心肌细胞成熟过程中逐渐增加,在出生后 30 天左右达到稳定水平(图 3B).

为了检验在心肌成熟过程中 JP2 表达量上升与横管形态变化之间的关系,利用 RNAi 技术下调 JP2 的表达量,进而研究其对横管形态造成的影响.使用含有 JP2 靶向 shRNA 的腺病毒感染培养的、出生后60 天的心肌细胞.这些心肌细胞中的横管系统成熟,空间排列规律,横向组分比例远远高于纵向组分.腺病毒载体中还含荧光蛋白 DsRed 的序列,通过监测荧光蛋白的表达,发现转染 48 h 后 90%以上的心肌细胞都被成功转染.蛋白质免疫印迹分析的结果显示,与对照相比,RNAi组 JP2 蛋白的表达量下降了约

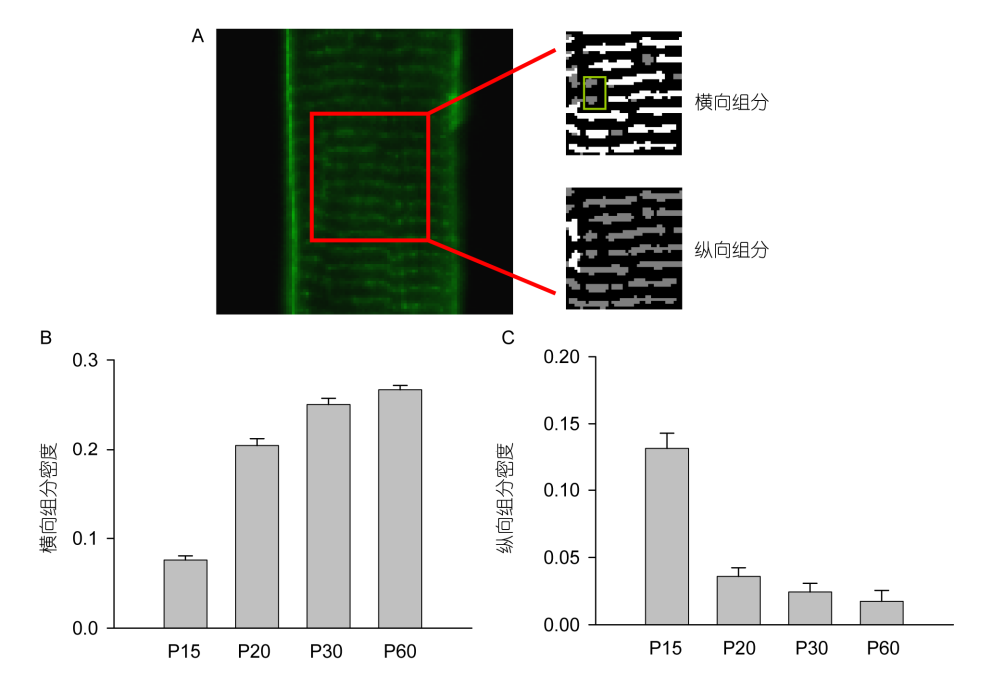


图 2 心肌细胞成熟过程中横管延伸方向的变化

A:由膜染料标记的横管信号(左图)分为横向组分(右上)和纵向组分(右下)两部分.绿框中的点状信号方向无法确定,不列入考虑范围; B:横向组分的密度(即横向组分所占面积除以所选区域的面积)在心肌成熟过程中逐渐增加; C:纵向组分的密度在心肌成熟过程中逐渐降低.每组 N>15 来自 3 只实验动物; One-way ANOVA; P<0.01

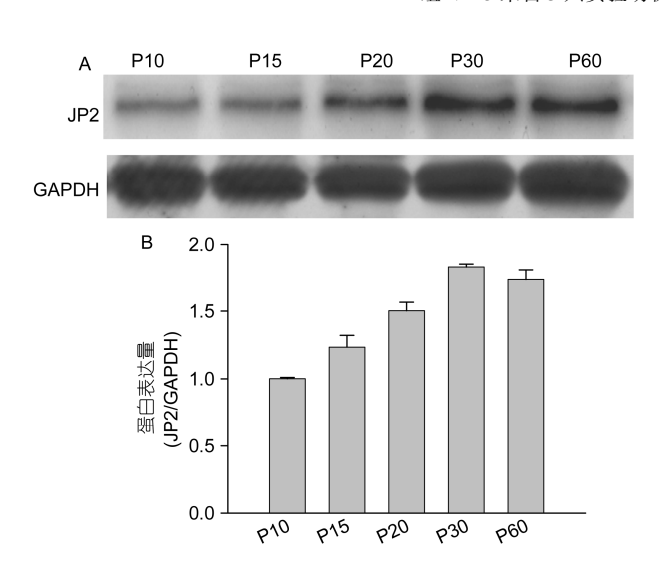


图 3 JP2 表达量在心肌细胞成熟过程中的变化

A: 使用蛋白免疫印迹的方法分析 JP2 蛋白的表达,以 GAPDH 作为内参; B: JP2 蛋白表达水平在心肌细胞成熟过程中逐渐增加. 每组 N=3 来自 3 只实验动物; One-way ANOVA; P<0.05

# 40% (图 4A).

为了避免与 DsRed 蛋白荧光的互相干扰, 使用另一种荧光染料 RH237 对细胞膜进行染色. 发现在

培养的大鼠心肌细胞, JP2 敲减会引起横管结构的重塑(图 4B). 与对照组相比, JP2 敲减组横管结构紊乱、在细胞内排列不规律. 使用基于快速傅里叶变换算法得到的  $TT_{power}$  定量分析横管的形态变化后发现, JP2 敲减组  $TT_{power}$  显著低于对照组(图 4C).

接下来,对横向组分和纵向组分在总横管中所占的比例进行定量分析.结果显示,同对照组相比,JP2 敲减组横管的横向组所占的比例明显降低(图 5A),而纵向组分的比例显著升高(图 5B).这些由JP2 敲减所引起的横管形态变化与横管在成熟过程中的变化相反,表明JP2对于心肌细胞中横管的形态发育非常重要.

#### 3 讨论

在本研究中,我们检测了横管形态及JP2表达在心肌细胞成熟过程中的变化,并对两者之间的联系进行研究.在横管系统成熟过程中,它以~2 μm 为空间周期的特征越来越明显,而且横向组分的比例越来越高.这些变化伴随着 JP2表达量同步上升,并且可以被 JP2蛋白的敲减所逆转,因此推测 JP2蛋白的

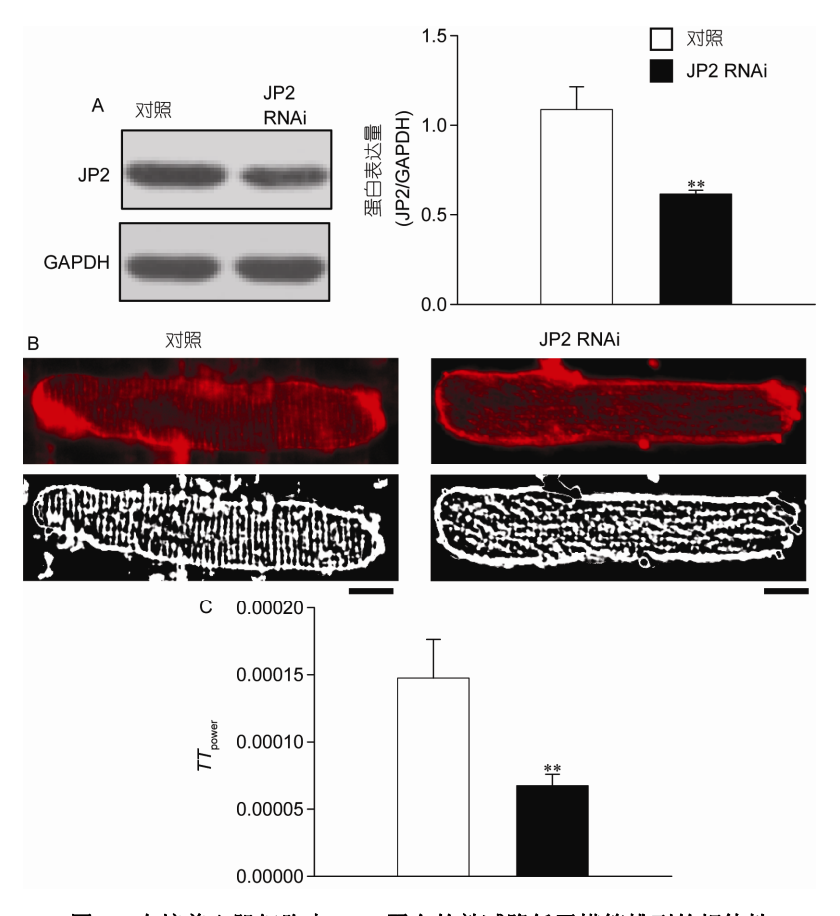


图 4 在培养心肌细胞中, JP2 蛋白的敲减降低了横管排列的规律性

A: 蛋白免疫印迹分析 JP2 敲减组与对照组 JP2 蛋白的表达量. RNAi 组 JP2 蛋白表达量下降了约 40%. B: 对照组与 JP2 RNAi 组心肌细胞使用细胞膜染料 RH237 染色后成像,标尺:  $10~\mu$ m. 原始图下方显示的为高色差图像. C: JP2 表达量的下调降低了培养心肌细胞的  $TT_{power}$ . 每组 N>20~来自 3~只实验动物; t 检验; \*\*: P<0.01

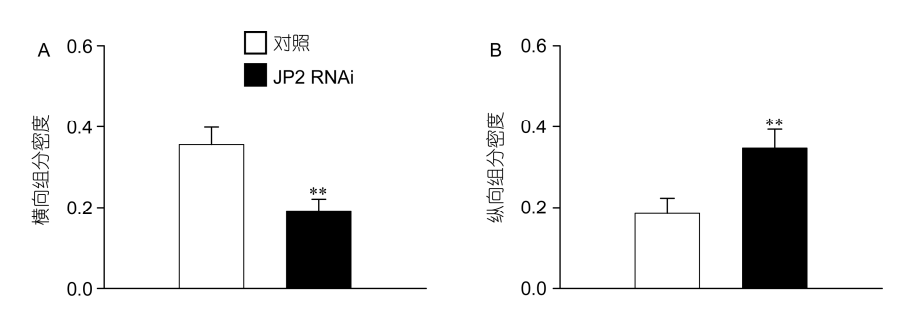


图 5 JP2 表达量的下调改变了培养心肌细胞中横管的延伸方向

A: JP2 敲减降低了横管横向组分的比例; B: JP2 敲减增加了纵向组分的比例. 每组 N>20 来自 3 只实验动物; t 检验; \*\*: P<0.01

表达水平是影响心肌细胞横管形态成熟的一个重要 因素.

在胚胎期和新生个体的心肌细胞中,几乎检测不到横管的存在,横管在出生后的前几周形成并逐渐发育<sup>[14,17]</sup>. 从出生后 10~20 天是横管网络的快速生

长时期,横管逐渐从细胞膜周边延伸到细胞内部.本研究主要探讨横管在成熟过程中的变化,因此主要对出生后15~60天横管的形态变化进行分析.据本实验室所知,这是首次对发育过程中横管的形态变化进行量化分析.运用这种方法分析,我们得出横管在

成熟过程中的 2 种形态变化: 1)  $TT_{power}$  的增加,反映了横管在成熟过程中逐渐定位到间距约为 2  $\mu m$  的 Z 线上; 2) 横管的纵向和横向组分此消彼长,反映了横管逐渐沿着 Z 线方向延伸.

在哺乳动物心肌细胞中,横管网络中只包含少量的纵向组分,其余大部分都是与Z线平行的横向组分<sup>[3,4]</sup>. 这种规则排列的横管系统对于动作电位发生时,心肌细胞快速、同步的电兴奋及钙释放非常重要<sup>[6]</sup>. 在 JP2 敲减的大鼠心肌细胞中,横管的空间排布不规律,其纵向组分所占比例增加,而横向组分所占比例减少,表明 JP2 参与横管的形态重塑过程. 之前的报道表明,JP2 与胚胎干细胞向心肌细胞的转化有关<sup>[27]</sup>. HL-1 细胞中敲减 JP2 会引起肌细胞发生肥厚<sup>[21]</sup>. 但是,在培养的成年大鼠心肌细胞中敲减 JP2并未对细胞形态产生明显影响,细胞的长度和宽度都未发生变化<sup>[24]</sup>,这与实验中所观察到的现象一致.

引言中提到横管形成的2种模式, 其中横管与肌 质网的偶联都是重要的一步[14,17]. 根据之前的报道, 肌质网末端定位到 Z 线附近这一事件的发生早于横 管的形成[17,28]. JP2 是横跨肌质网的蛋白, 它与细胞 膜或膜蛋白的相互作用可能会在横管沿着肌质网终 池的轨迹上生长发挥重要作用. 在这种情况下, 足量 的 JP2 表达对保证横管与尽可能多的肌质网终池锚 定很重要. 尽管肌质网与细胞膜偶联形成的周边二 联体结构在出生前就已经形成[15], 但在出生后的发 育早期, JP2 表达量比较低, 分子数量比较少, 不足以 将大量横管锚定在 Z 线附近. 随着心肌细胞的发育, JP2 表达量越来越多, 形成的横管-肌质网二联体结 构也越来越多; 从而使得横管系统的排列更加规则, 兴奋收缩偶联功能便更加成熟. 因此, 在心肌细胞成 熟阶段, JP2 蛋白的大量表达对规则排列的横管网络 的形成非常重要.

# 参考文献。

- 1 Bers D M. Excitation-Contraction Coupling and Cardiac Contractile Force. 2nd ed. Dordrecht: Kluwer Academic Publisher, 2001
- 2 Forbes M S, Hawkey L A, Sperelakis N. The transverse-axial tubular system (TATS) of mouse myocardium: its morphology in the developing and adult animal. Am J Anat, 1984, 170: 143–162
- 3 Brette F, Orchard C. T-tubule function in mammalian cardiac myocytes. Circ Res, 2003, 92: 1182-1192
- 4 Soeller C, Cannell M B. Examination of the transverse tubular system in living cardiac rat myocytes by 2-photon microscopy and digital image-processing techniques. Circ Res, 1999, 84: 266–275
- 5 Cartwright E J, Oceandy D, Austin C, et al. Ca<sup>2+</sup> signalling in cardiovascular disease: the role of the plasma membrane calcium pumps. Sci China Life Sci, 2011, 54: 691–698
- 6 Cheng H, Cannell M B, Lederer W J. Propagation of excitation-contraction coupling into ventricular myocytes. Pflügers Arch, 1994, 428: 415–417
- 7 Song L S, Guatimosim S, Gomez-Viquez L, et al. Calcium biology of the transverse tubules in heart. Ann NY Acad Sci, 2005, 1047:
- 8 Franzini-Armstrong C, Protasi F. Ryanodine receptors of striated muscles: a complex channel capable of multiple interactions. Physiol Rev, 1997, 77: 699–729
- 9 Franzini-Armstrong C, Protasi F, Ramesh V. Shape, size, and distribution of Ca(2+) release units and couplons in skeletal and cardiac muscles. Biophys J, 1999, 77: 1528–1539
- 10 Kimlicka L, van Petegem F. The structural biology of ryanodine receptors. Sci China Life Sci, 2011, 54: 712–724
- 11 Lopez-Lopez J R, Shacklock P S, Balke C W, et al. Local calcium transients triggered by single L-type calcium channel currents in cardiac cells. Science, 1995, 268: 1042–1045
- 12 Berridge M J, Bootman M D, Roderick H L. Calcium signalling: dynamics, homeostasis and remodelling. Nat Rev, 2003, 4: 517–529
- 13 Bers D M. Cardiac excitation-contraction coupling. Nature, 2002, 415: 198–205
- 14 Di Maio A, Karko K, Snopko R M, et al. T-tubule formation in cardiacmyocytes: two possible mechanisms? J Muscle Res Cell M, 2007, 28: 231–241
- 15 Takeshima H, Komazaki S, Nishi M, et al. Junctophilins: a novel family of junctional membrane complex proteins. Mol Cell, 2000, 6: 11-22
- 16 Escobar A L, Ribeiro-Costa R, Villalba-Galea C, et al. Developmental changes of intracellular Ca<sup>2+</sup> transients in beating rat hearts. Am J Physiol, 2004, 286: H971–H978
- 17 Snopko R M, Ramos-Franco J, Di Maio A, et al. Ca<sup>2+</sup> sparks and cellular distribution of ryanodine receptors in developing cardiomyocytes from rat. J Mol and Cell Cardiol, 2008, 44: 1032–1044

- 18 Nishi M, Mizushima A, Nakagawara K, et al. Characterization of human junctophilin subtype genes. Biochem Bioph Res Co, 2000, 273: 920–927
- 19 Garbino A, Wehrens X H. Emerging role of junctophilin-2 as a regulator of calcium handling in the heart. Acta Pharmacol Sin, 2010, 31: 1019–1021
- Hirata Y, Brotto M, Weisleder N, et al. Uncoupling store-operated Ca<sup>2+</sup> entry and altered Ca<sup>2+</sup> release from sarcoplasmic reticulum through silencing of junctophilin genes. Biophys J, 2006, 90: 4418–4427
- 21 Landstrom A P, Kellen C A, Dixit S S, et al. Junctophilin-2 expression silencing causes cardiocyte hypertrophy and abnormal intracellular calcium-handling. Circulation, 2011, 4: 214–223
- van Oort R J, Garbino A, Wang W, et al. Disrupted junctional membrane complexes and hyperactive ryanodine receptors after acute junctophilin knockdown in mice. Circulation, 2011, 123: 979–988
- Wei S, Guo A, Chen B, et al. T-tubule remodeling during transition from hypertrophy to heart failure. Circ Res, 2010, 107: 520-531
- 24 Wu H D, Xu M, Li R C, et al. Ultrastructural remodelling of Ca(2+) signalling apparatus in failing heart cells. Cardiovasc Res, 2012, 95: 430–438
- Fu Y, Zhang G Q, Hao X M, et al. Temperature dependence and thermodynamic properties of Ca<sup>2+</sup> sparks in rat cardiomyocytes. Biophys J, 2005, 89: 2533–2541
- 26 Song L S, Sobie E A, McCulle S, et al. Orphaned ryanodine receptors in the failing heart. Proc Natl Acad Sci USA, 2006, 103: 4305-4310
- 27 Liang X, Mei Y, Huang X, et al. Junctophilin 2 knockdown interfere with mitochondrium status in ESC-CMs and cardiogenesis of ES cells. J Cell Biochem, 2012, 113: 2884–2894
- 28 Perez C G, Copello J A, Li Y, et al. Ryanodine receptor function in newborn rat heart. Am J Physiol, 2005, 288: H2527-H2540